

Raport de cercetare Postdoctorală

Celule solare nanostructurate

Candidat Dr.Ing. Bogdan Stefan VASILE

1. INTRODUCERE

Celulele fotovoltaice pe baza de siliciu reprezinta in momentul de fata solutia cea mai maturata din punct de vedere tehnologic si comercial pentru dispozitivele fotoelectrice (PV) avand ca scop conversia energiei solare in energie electrica. Progresul stiintific a permis dezvoltarea de dispozitive PV pe baza de Si monocristalin avand o eficiență de conversie de pana la 26,7%. Astazi, aceste dispozitive PV pe baza de Si sunt fabricate si comercializate pe scara larga si reprezinta aproximativ 90% din piata dispozitivelor PV.

In ultimele decenii, datorita constrangerilor generate de necesitatea respectarii conventiei de la Paris privind limitarea si reducerea factorilor care conduc la producerea efectului de incalzire globala, i.e. tehnologiei consumatoare de energie electrica sau poluante, precum si a conventiilor internationale privind utilizarea de materiale cu un grad ridicat de toxicitate pentru mediu si corpul uman, o dezvoltare accelerata a fost obtinuta de dispozitivele PV pe baza de straturi subtiri. Aceste dispozitive au cunoscut o dezvoltare rapida, conducand la realizarea dispozitive rentabile din punct de vedere economic, durabile si fabricate prin tehnologie mult mai putin consumatoare de energie decat dispozitivele pe baza de Si monocristalin. Astfel, in zile noastre, pretul scazut de productie oferit de utilizarea tehnologiilor mult mai putin energofobe, a permis implementarea pe scara larga a dispozitivelor PV cu straturi subtiri in o varietate larga de aplicatii, cum ar fi, industria de autovehicule, industria electronica, iluminatul public, sisteme de supraveghere obiective izolate, etc.

Dispozitivele PV pe baza de straturi subtiri de Cu (In, Ga) (S, Se) 2 (CIGS) si CdTe au demonstrat cea mai mare eficiență in conditii de laborator de pana la 23,4% pentru CIGS si 21,0% pentru CdTe. Cu toate acestea, adoptarea acestor dispozitive de catre piata comerciala este limitata, datorita utilizarii de constituente rare (In, Ga) si toxici (Cd).

Una dintre solutiile cele mai promitatoare de eliminare a acestor bariere in calea dezvoltarii dispozitivelor PV pe baza de straturi subtiri o constituie utilizarea unor compusi cu toxicitate scazuta, spre exemplu Cu₂ZnSnS₄ (CZTS). CZTS este un compus semiconductor cuaternar care poate fi utilizat sub forma de strat subtire absorbant in dispozitivele fotovoltaice.

Cu₂ZnSnS₄ (CZTS) a fost identificat ca un posibil absorbant fotovoltaic (PV) in 1988, iar prima celula solară CZTS a fost fabricată in 1996 cu o eficiență de 4%. CZTS poate fi sintetizat utilizând diferite tehnici, care pot fi clasificate în două grupe: i) tehnici de depunere pe bază de vid, cum ar fi evaporarea termică, pulverizarea, depunerea laser pulsată sau altă tehnică fizică de depunere a vaporilor și ii) depunerea fără vid tehnici precum prelucrarea soluției, cum ar fi Sol-Gel sau depunerea electrochimică în aer sau atmosferă controlată [1-9].

CZTS atrage interesul cît de puternic ca înlocuitor al celulelor solare CuInGaSe₂ datorită înlocuirii elementelor In și Ga rare și costisitoare cu Zn și Sn abundente în pământ. În plus, înlocuirea Se puternic toxică cu S non-toxică reprezintă o altă caracteristică benefică a absorbantelor CZTS. În prezent, actualul record mondial certificat de eficiență a conversiei energiei (PCE) este de 12,6% [10, 11]. Principalele avantaje ale absorbantelor CZTS sunt [12-14]: i) include elemente netoxice și abundente în pământ, ii) are conductivitate de tip p, iii) are un coeficient ridicat de absorbție ($> 10^4 \text{ cm}^{-1}$) la intervalul său direct de bandă (1,4-1,5 eV).

Cercetările științifice în domeniul celulelor solare cu absorbant CZTS sunt în continuă dezvoltare, numeroase laboratoare de cercetare din întreaga lume alocând eforturi intelectuale și financiare considerabile în acest sens, conducând astfel la obținerea de rezultate care atribuie acestor dispozitive caracterul de competitor al dispozitivelor pe baza de Si.

O caracteristică a absorbantului CZTS este data de posibilitatea de a regla nivelul benzii interzise, de la 1,0 eV la 1,5 eV, prin doparea Se și ajustarea raportului S/Se. Chiar dacă dopajul Se este util, acesta nu este recomandat să fie utilizat atât datorita volatilității S și Se, precum și datorită caracterului extrem de toxic al Se pentru sănătatea umană și mediului. Acest impediment reprezintă pentru celulele solare pe baza de CZTS o limită în industrializare, limită care trebuie eliminată.

Astfel, performantele de top ale dispozitivelor PV pe baza de CZTS au atins valoarea de 12,6% în eficiență, valoare însă insuficientă pentru înlocuirea comercială a dispozitivelor similare bazate pe tehnologia Si. De asemenea, aceasta valoare experimentală a eficienței de conversie este mult mai mică decât valoarea teoretică Shockley-Queisser (SQ) de 32,4% [15].

Una din cauzele obținerii unor valori atât de mici ale eficienței de conversie se datorează faptului că cercetările au fost realizate prin studierea unor absorbanți CZTS bazati pe raporturi unice Cu-Zr, care oferă proprietăți optice și electronice predefinite, i.e. banda interzisa și coeficientul de absorbție.

Arhitectura propusă prin proiect asigură un caracter ecologic celulei solare bazate pe CZTS, evitând eliberarea speciilor Cd/Cd + metale / ioni în mediul ambiental gazdă. Experiența valoaroasă acumulată anterior este menită să fie dedicată beneficiilor prezentei propunerii de cercetare postdoctorala. Până în prezent s-au obținut realizări consistente la nivel înalt în domeniul prelucrării sol-gel a peliculelor subțiri, incluzând straturi unice, heterostructură gradată și straturi compozitionale gradate. În consecință, un număr mare de rezultate teoretice și experimentale obținute au fost raportate comunității cîtinuifice interne și internaționale prin intermediul revistelor cu impact ridicat [16-24, 25-36].

2. OBȚINEREA FILMELOR NANOSTRUCTURATE

Filmele subțiri au fost obținute folosind tehnica de depunere din soluții (Sol-Gel/Spin Coating), ca tehnica ieftina reproductibila și perfect integrată în procesele tehnologice industriale existente, a unui strat subțire de CZTS cu gradient de compozitie, pentru a fi utilizat ca fotoabsorbant în structura celulelor solare, cu scopul creșterii eficienței de conversie a structurii PV finale.

Straturile CZTS, având stoichiometria corecta a compoziei, au fost fabricate începând cu precursori pentru elementele CZTS și anume CuCl_2 , SnCl_2 , $\text{Zn}(\text{Ac})_2$, tiourea și 2-metoxietanol. Soluția stoc precursor a fost folosită pentru depunerea prin spin-coating pe substrat comercial de Soda-Lime-Glass (SLG) acoperit cu Mo. Straturile astfel depuse au fost supuse unui tratament de uscare la 160°C urmat de tratamente termice de cristalizare la temperatura de 400°C în atmosfera de Ar. Stratul de transfer de electroni al celulei solare a fost obținut prin depunerea prin spin-coating unui strat de ZnO , urmat de un tratament de evaporare la 160°C a solventului urmată de un tratament de cristalizare la 325°C .

Au fost procesate 4 tipuri de straturi foto-absorbante de CZTS cu gradient de compozitie de înaltă calitate în care, raportul $\text{Cu}/(\text{Zn}+\text{Sn})$ a fost variat de la stoichiometrie la 0,80 la 0,90, raportul de Zn/Sn variind astfel de la 1,1 la 1,3. Raportul Cu/Sn a rămas fix la 1,6. Soluția de precursor a CZTS a fost depusă în atmosfera de N_2 .

Filmele sintetizate au fost:

- C0 compozitie stoichiometrică a CZTS – 9 straturi succese;
- C1 raport $\text{Cu}/(\text{Zn}+\text{Sn})$ 0,9 – 9 straturi succese;
- C2 raport $\text{Cu}/(\text{Zn}+\text{Sn})$ 0,8 – 9 straturi succese;
- M1 – film cu gradient compozitional C0, C1, C2 câte 3 straturi succese;
- *Depunere strat transfer e⁻*: Stratul de transfer de electroni al celulei solare a fost obținut prin depunerea prin spin-coating a unui strat de ZnO .

3. Caracterizarea filmelor obținute

Pentru activitățile propuse au fost prevăzute studii structurale folosind difracția de raze X, microstructurale și compozitionale folosind microscopia electronică de baleaj în suprafață și în secțiune privind stratul absorbant cu compozitie fixă și gradient compozitional, studii

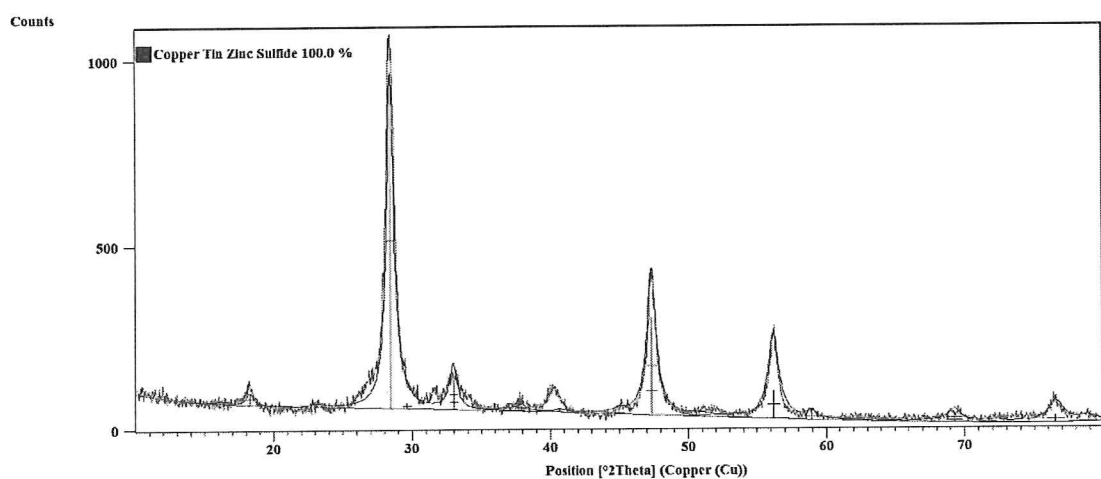
optice, și fotoelectrice pentru stabilirea performanțelor fotovoltaice ale celulelor solare pe baza de straturi subșirii de CZTS cu gradient compozitional.

3.1. Difracție de raze X

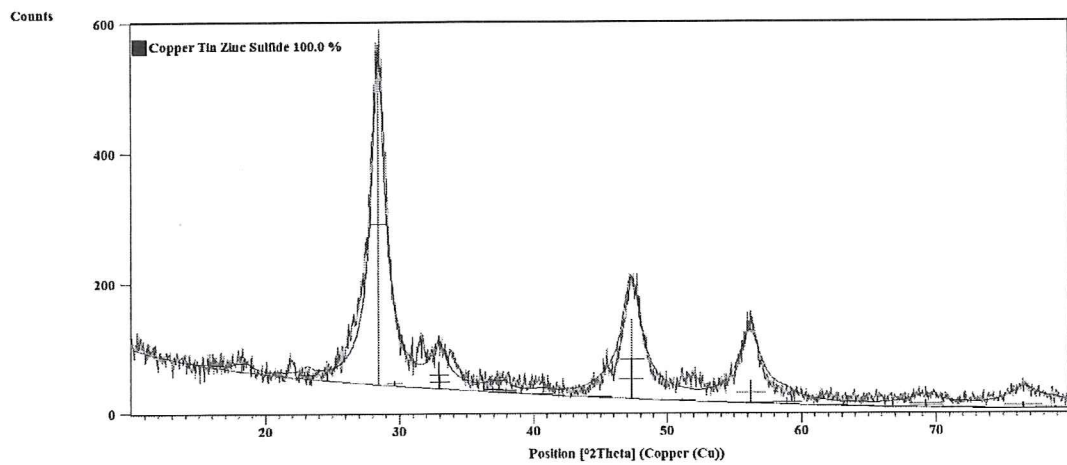
Analizele de difracție de raze X au fost efectuate pe un difractometru de raze X PANalytical Empyrean cu radiație CuK α ($\lambda = 1,5418 \text{ \AA}$), filtrată cu Ni, în configurație de scanare cu unghi de incidentă razant (Grazing Incidence X-ray Diffraction - GIXRD). Difractometrul a fost echipat cu monocromator hibrid Gex220 și fântă divergentă de $1/8^\circ$ pe partea incidentă și colimator cu plăci paralele montat pe detector PIXcel3D pe partea difractată. Spectrele au fost colectate pe domeniul de unghiuri $2\theta = 10 - 80^\circ$, cu pas de 0.02° și timp de achiziție pe pas de 2 secunde.

3.1.1 Caracterizarea Stratului activ de CZTS

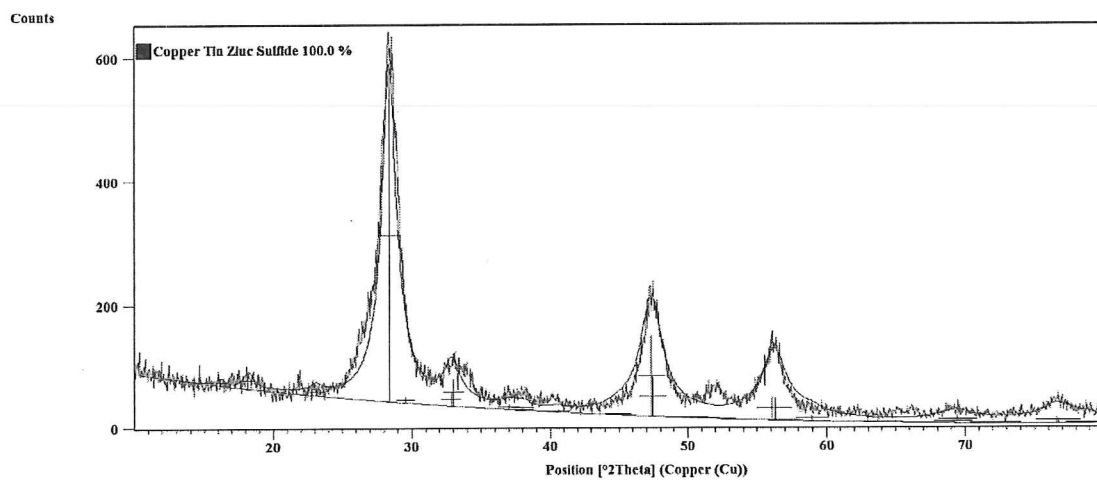
În figura 1 sunt prezentate spectrele de raze X pentru filmele cu stratul activ de CZTS C0, C1, C2 și M1 în secțiune și imaginile de distribuție după elemente.



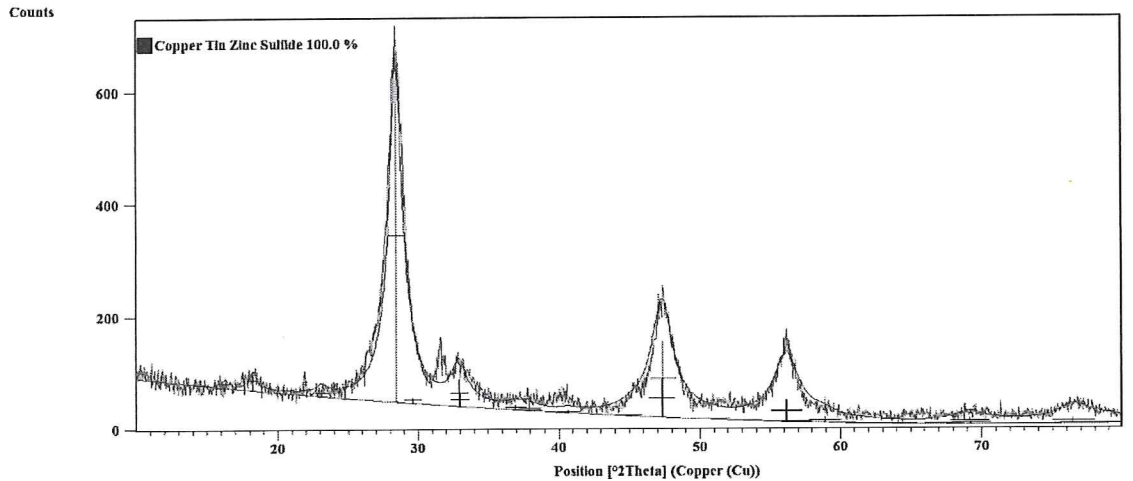
C0



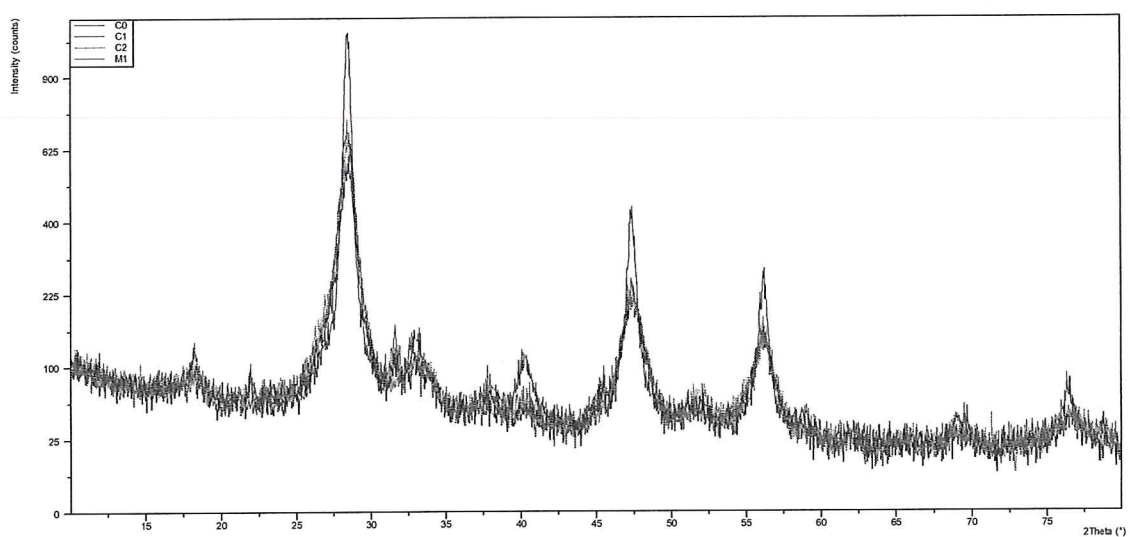
C1



C2



M1



Grafic combinat

Figura 1. Spectre de difracție de raze X obținute pentru filmele de CZTZ C0, C1, C2 și M1

Analizând spectrele de difracție de raze X obținute pentru filmele de CZTS putem observa că pentru toate cazurile se obține o singură fază mineralologică și anume Sulfura de Cu Sn și Zn. De asemenea odată cu scăderea raportului $\text{Cu}/(\text{Sn}+\text{Zn})$ se observă o scădere a intensității picurilor.

În tabelul 1 sunt prezentate valorile dimensiunilor celulei elementare obținute în urma rafinării Rietveld și diametrul mediu de cristalit.

| C0 | | C1 | | C2 | | M1 | |
|--------------------|----------|--------------------|----------|--------------------|----------|--------------------|----------|
| a [Å] | 5.422509 | a [Å] | 5.423957 | a [Å] | 5.399896 | a [Å] | 5.425722 |
| b [Å] | 5.422509 | b [Å] | 5.423957 | b [Å] | 5.399896 | b [Å] | 5.425722 |
| c [Å] | 10.84378 | c [Å] | 10.83837 | c [Å] | 10.84361 | c [Å] | 10.84421 |
| Mean [Å] | 68.71 | Mean [Å] | 30.20 | Mean [Å] | 28.21 | Mean [Å] | 29.95 |
| Stdev | 17.71 | Stdev | 10.45 | Stdev | 11.21 | Stdev | 15.02 |
| Eroare[Å] | ± 2.32 | Eroare[Å] | ± 1.37 | Eroare[Å] | ± 1.47 | Eroare[Å] | 1.97 |
| Cristalinitate [%] | 55.99 | Cristalinitate [%] | 63.49 | Cristalinitate [%] | 63.73 | Cristalinitate [%] | 63.73 |

Evaluarea valorilor obținute în urma rafinării Rietveld ne arată că gradul de cristalinitate crește cu scăderea gradientului de concentrație pe când diametrul mediu de cristalit scade aproape la jumătate față de compoziția stoechiometrică.

3.1.2. Caracterizarea stratului de ZnO

În figura 2 este prezentat spectrul de difracție de raze X obținut pe filmul de oxid de zinc depus pe proba M1.

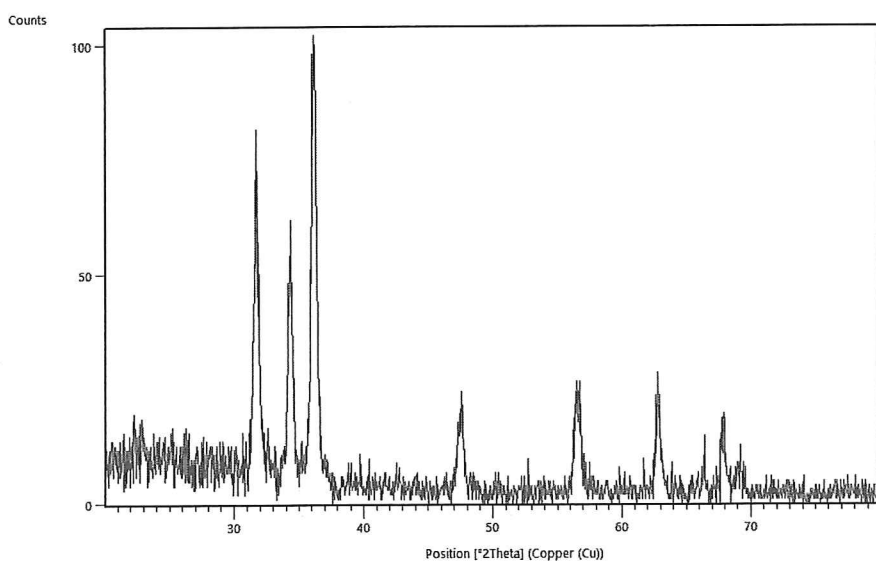


Figura 2. Spectre de difracție de raze X obținute pentru filmul de ZnO

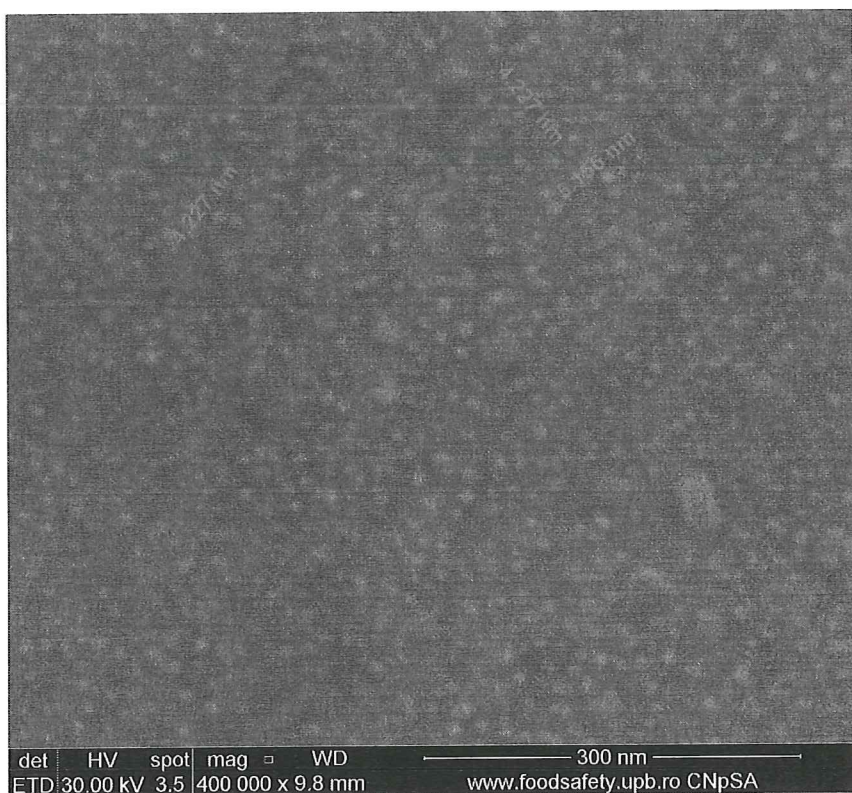
Spectrul de difracție de raze X pune în evidență formarea fazei cristalina ZnO cu structură hexagonală conform fișei ASTM [01-080-7099].

3.2. Microscopie electronică de baleaj

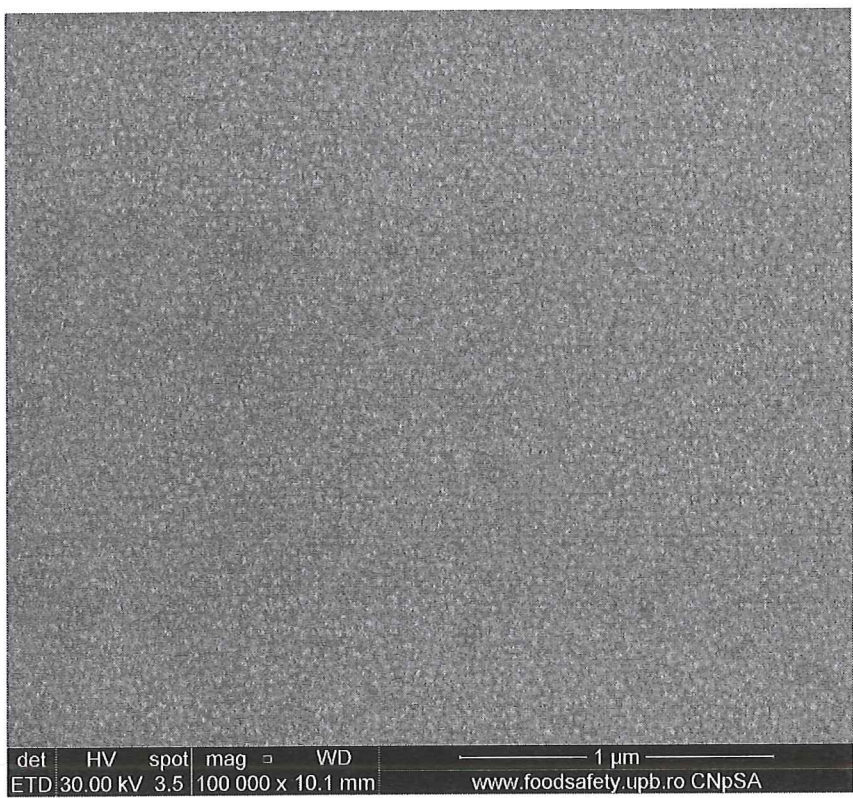
Morfologia probelor de ZnO precum și a pansamentelor a fost analizată prin microscopie electronică de baleaj. Studierea morfologiei probelor s-a efectuat cu ajutorul microscopului electronic cu baleaj QUANTA INSPECT F echipat cu spectrometru de raze X dispersiv în energie (EDAX).

3.2.1 Caracterizarea Stratul activ de CZTS pe suprafață

În figura 3 sunt prezentate imaginile de microscopie electronică de baleaj pentru straturile de CZTS aferente probelor C0, C1, C2 și M1.

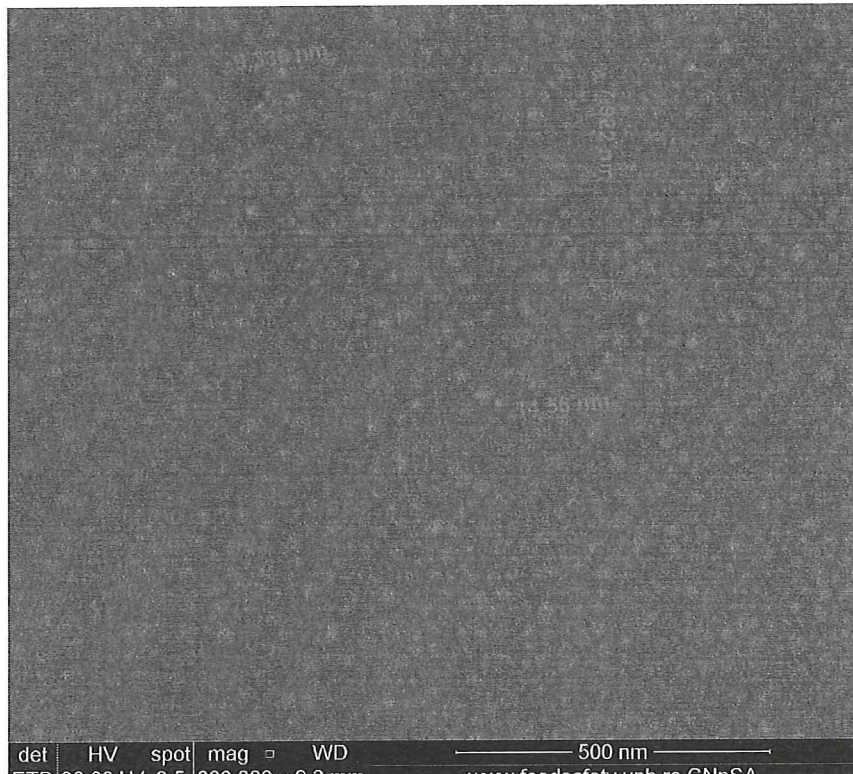


C0



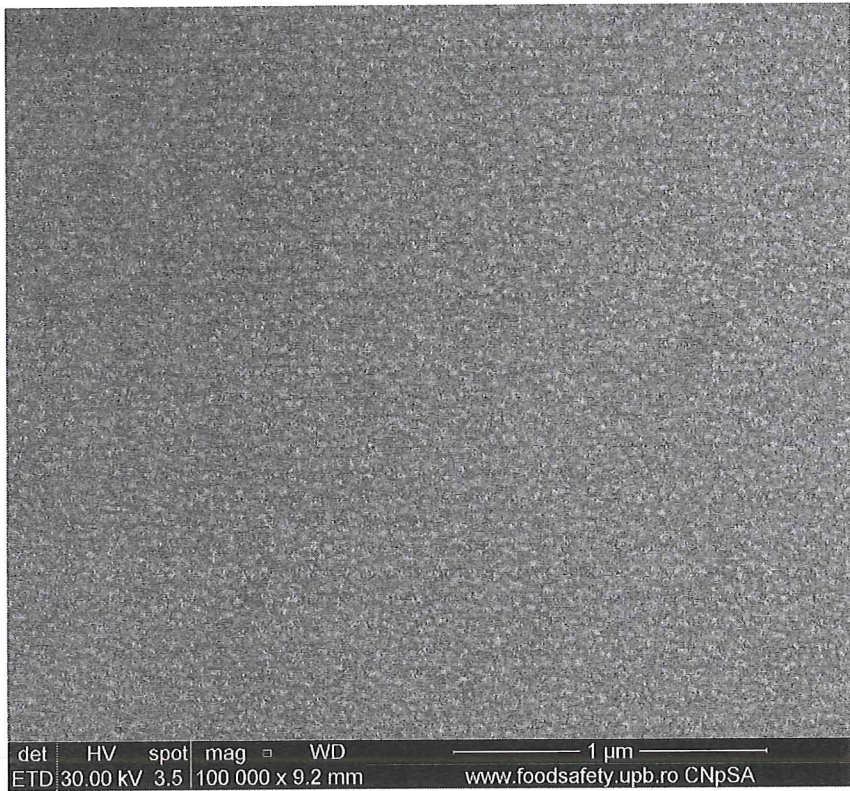
det HV spot mag □ WD
ETD 30.00 kV 3.5 100 000 x 10.1 mm 1 μm
www.foodsafety.upb.ro CNpSA

C1



det HV spot mag □ WD
ETD 30.00 kV 3.5 200 000 x 9.3 mm 500 nm
www.foodsafety.upb.ro CNpSA

C2



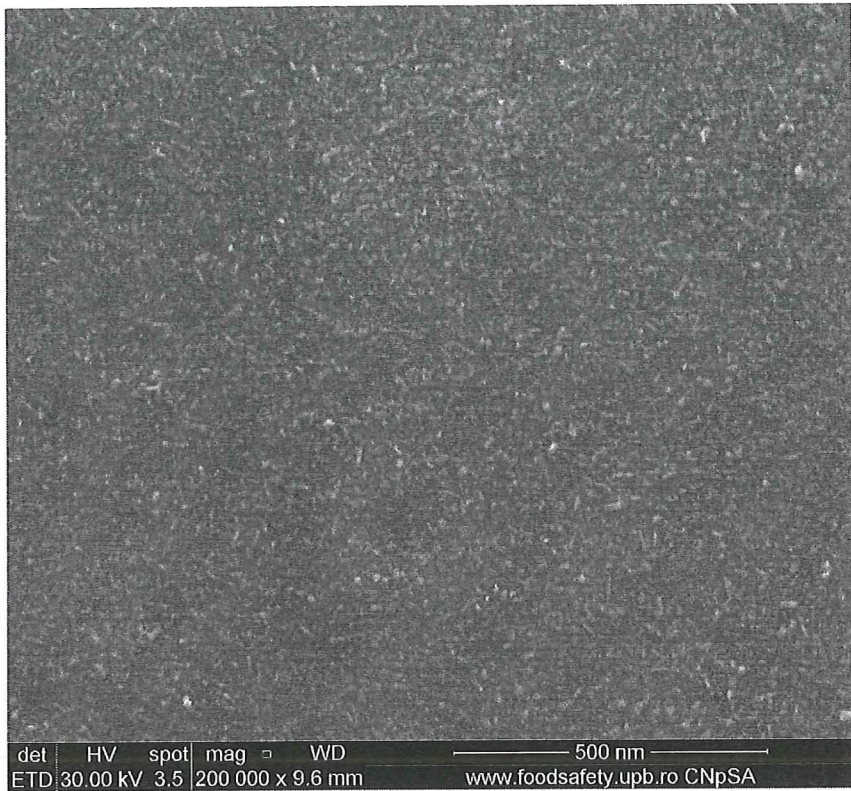
M1

Figura 3 Imaginele de microscopie electronică de baleaj pentru straturile de CZTS aferente probelor C0, C1, C2 și M1.

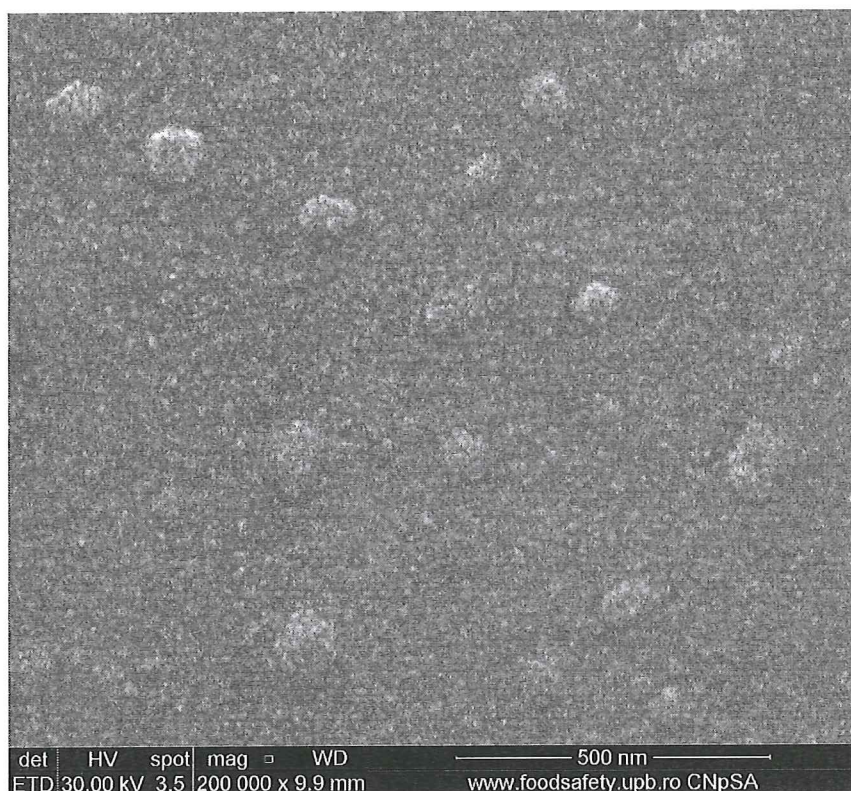
Analizând imaginile de microscopie electronică de baleaj obținute pentru filmele C0, C1, C2 și M1 putem să spunem faptul că, ele sunt compuse din nanoparticule pornind de la 3 nm până la 14 nm în diametru, cu uniformitate dimensională. De asemenea, se poate observa faptul că, odată cu modificarea raportului Cu/(Zn+Sn) crește dimensiunea nanoparticulelor.

3.2.2. Caracterizarea stratului de ZnO pe suprafață

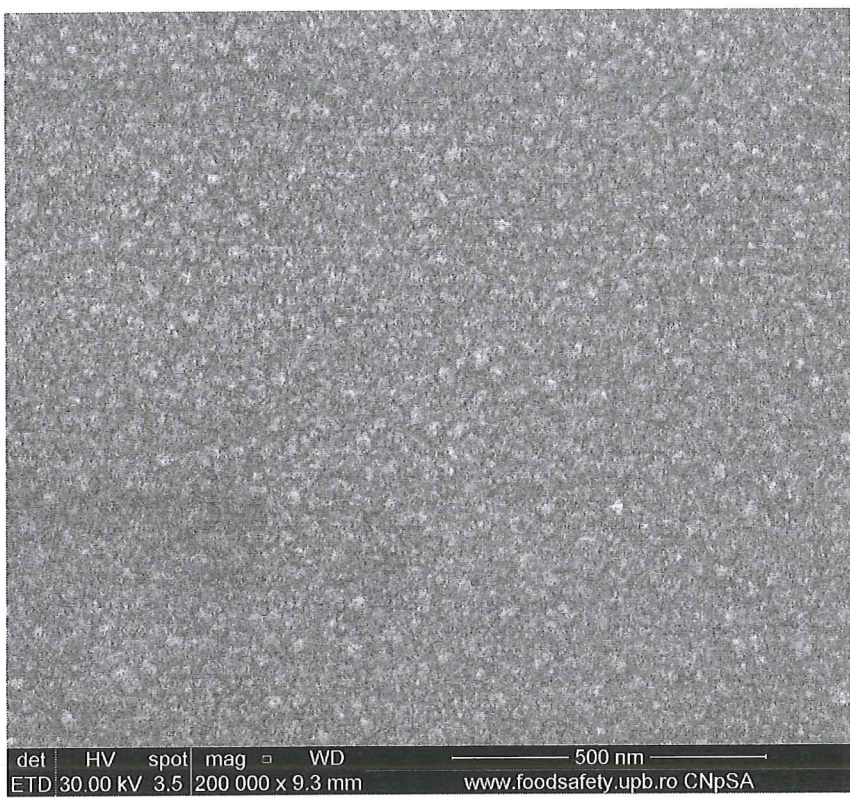
În figura 4 sunt prezentate imaginile de microscopie electronică de baleaj pentru straturile de ZnO aferente probelor C0, C1, C2 și M1.



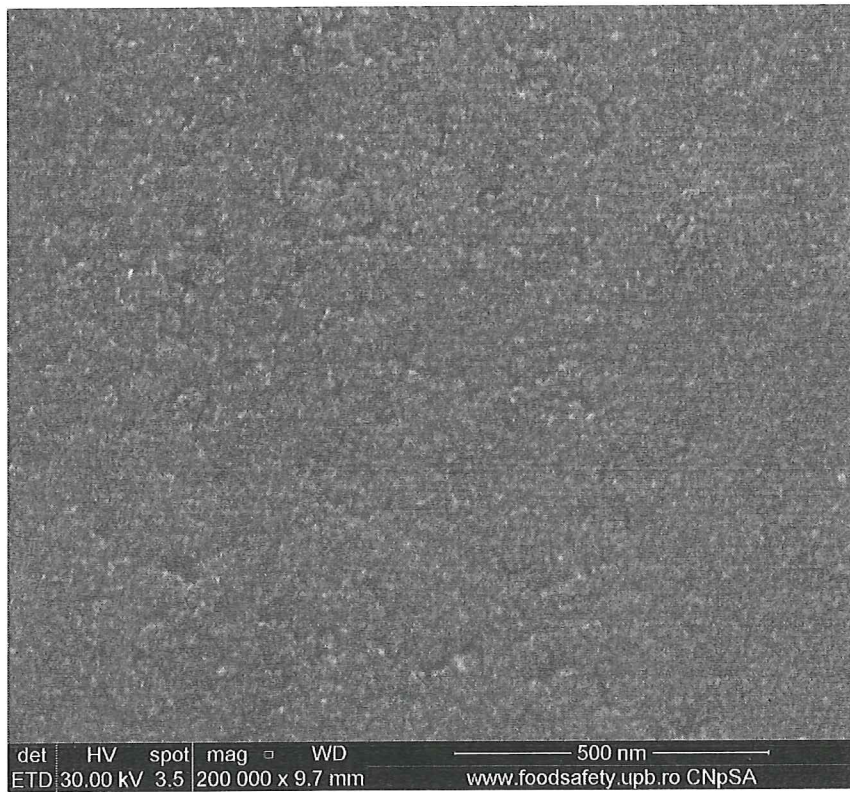
C0



C1



C2



M1

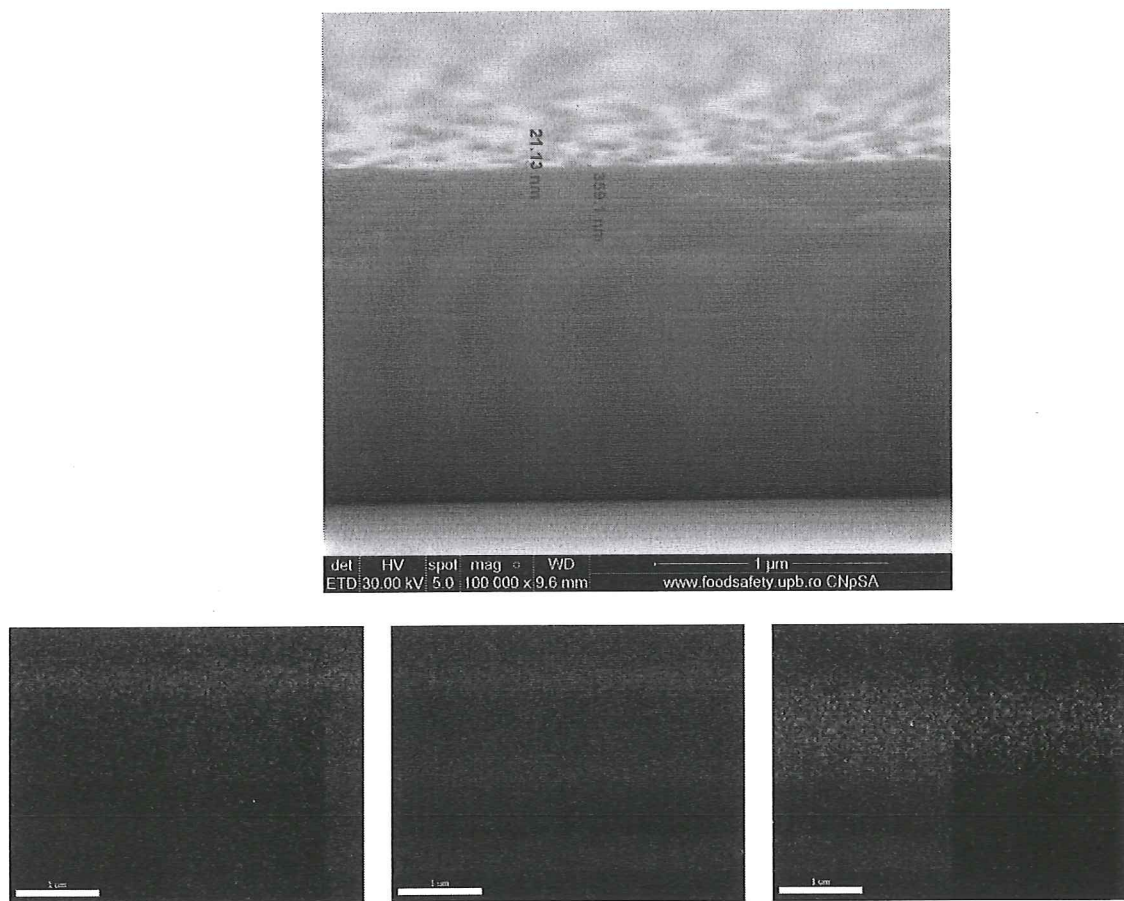
Figura 4 Imaginele de microscopie electronică de baleaj pentru straturile de ZnO depuse peste filmul de CZTS aferente probelor C0, C1, C2 și M1.

Analizând imaginile de microscopie electronică de baleaj obținute pentru filmele de ZnO depuse pe probele C0, C1, C2 și M1 putem să spunem faptul că, ele sunt compuse din nanoparticule cu dimensiuni de ordinul 4 - 6 nm, diametru, cu uniformitate dimensională mult mai accentuată decât în cazul nanostructurii de CZTS. De asemenea, se poate observa faptul ca, odată cu modificarea raportului Cu/(Zn+Sn) dimensiunea nanoparticulelor de ZnO nu se modifică.

În cazul filmului de ZnO depus pe C1 se pot observa formațiuni sferice formate datorită nanobulelor de aer prezente în sol înainte de evaporarea solventului. În cazul filmului de ZnO depus pe M1 se pot observa nanocrăpături de ordinul a 0,5-1 nm în diametru.

3.2.2. Caracterizarea strukturilor în secțiune

În figura 5 sunt prezentate imaginile de microscopie electronică de baleaj pentru filmele C0, C1, C2 și M1 în secțiune și imaginile de distribuție după elemente.

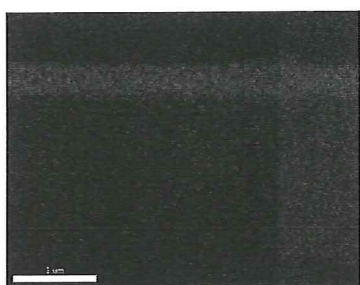
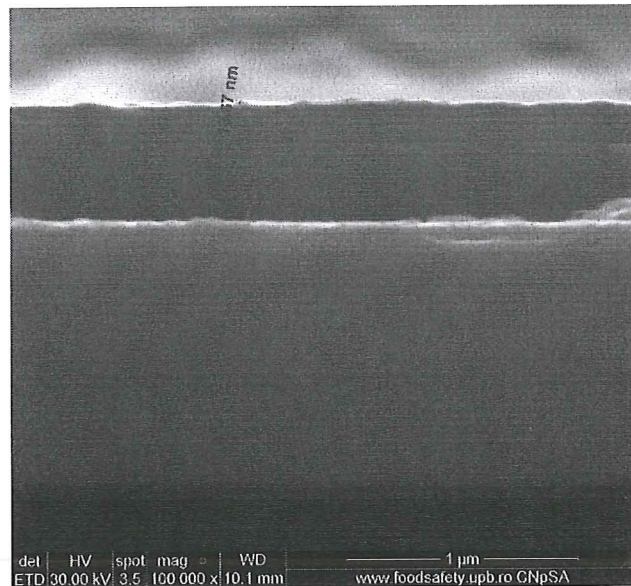


Sn

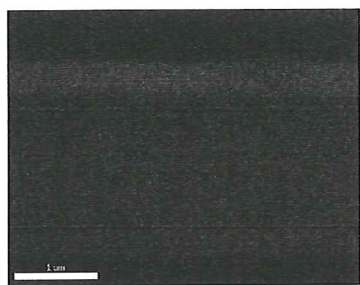
Cu

Mo

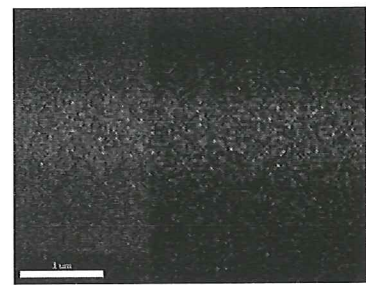
C0



Sn

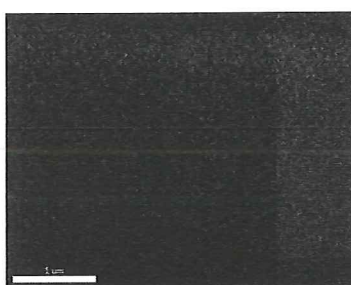
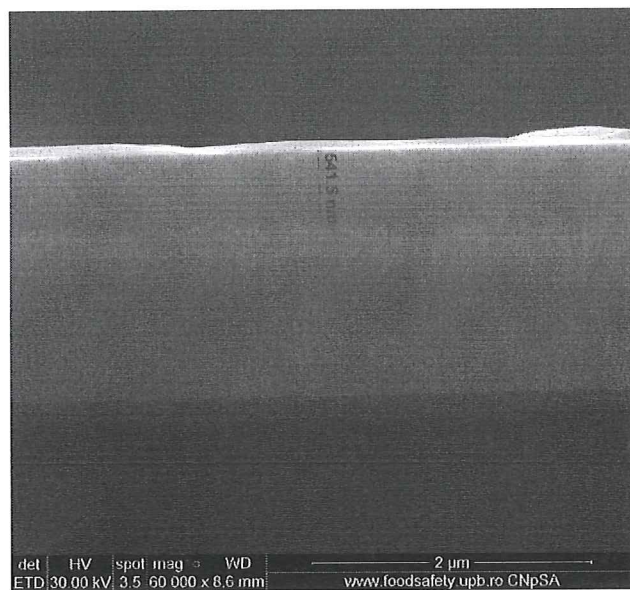


Cu

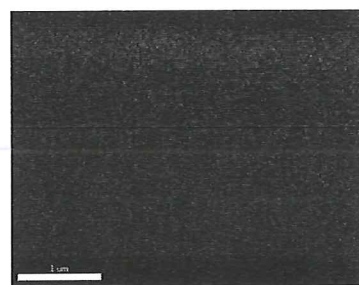


Mo

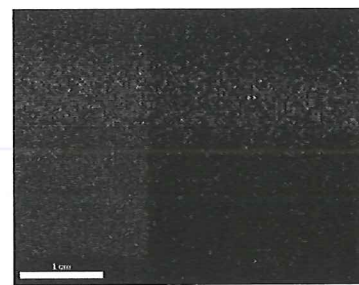
C1



Sn

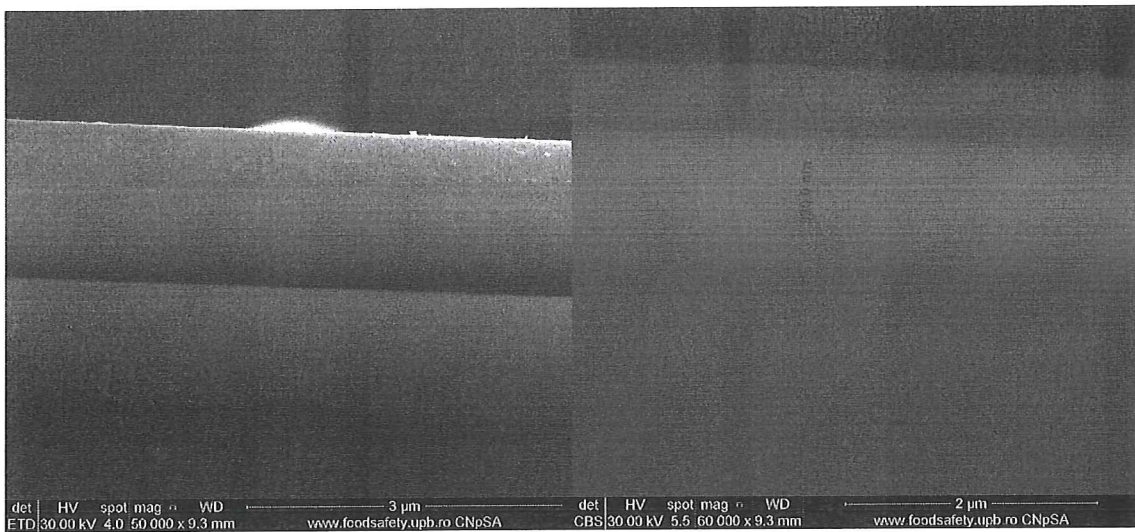


Cu



Mo

C2



det | HV | spot mag | WD
ETD | 30.00 kV | 4.0 | 50.000 x 9.3 mm | 3 μm
www.foodsafety.upb.ro CNpSA

det | HV | spot mag | WD
CBS | 30.00 kV | 5.5 | 60.000 x 9.3 mm | 2 μm
www.foodsafety.upb.ro CNpSA

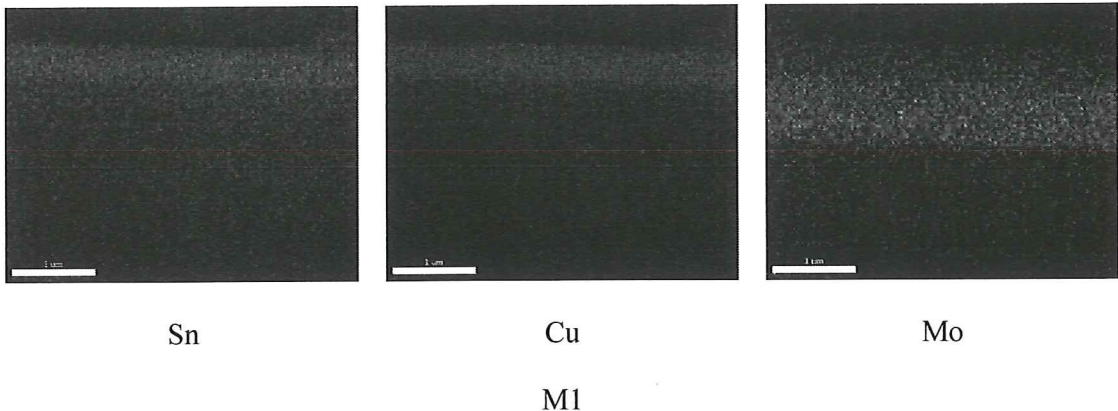


Figura 5 Imaginele de microscopie electronică de baleaj în secțiune aferente probelor C0, C1, C2 și M1.

Analizând imaginile de microscopie electronică de baleaj putem observa faptul că depunerile sunt uniforme, nu există întreruperi la limita de depunere iar filmele sunt uniforme din punct de vedere dimensional. Un fapt foarte interesant observat este acela că odată cu scăderea raportului $Cu/(Sn+Zn)$ se observă o creștere a grosimii filmului depus de la 359 nm la 542 nm cu toate că s-au folosit soluții precursoare cu aceeași concentrație molară. Un alt doilea-a aspect observat este efectul invers de comportare al filmului de ZnO depus pe filmele de CZTS, acela că odată cu scăderea raportului scade grosimea filmului de ZnO.

Distribuția elementală a fost prezentată numai pentru S, Cu și Mo, și ne relevă o distribuție uniformă a elementelor în toata masa filmului. S nu a fost prezentat deoarece liniile specifice lui se suprapun peste Mo iar Zn este prezent în ambele filme.

3.3. Spectroscopie UV-VIS

Spectrele au fost înregistrate cu un spectrofotometru Jasco V 560, echipat cu sferă integratoare de 60 mm, în modul reflexie difuză, în domeniul 200-900 nm, cu o viteza de 200 nm/min. În figura 6 sunt prezentate spectrele UV pentru probele C0, C1, C2, M1.

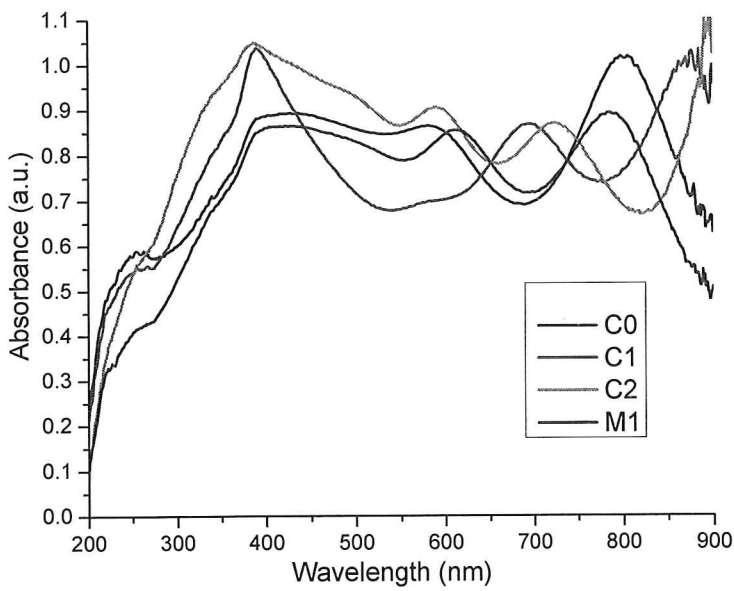


Figura 6 Absorbană pentru probele C0,C1, C2, M1

Spectrele probelor indica o puternica absorbanta in domeniul vizibil, cu prezenta unei benzi mai putin intensă la ~260 nm, în domeniul UV. Extinderea spre lungimi de unda mari, +800 nm indica posibilitatea de a absorbi radiația IR (cu aplicabilitate in realizarea de ferestre speciale pentru consum mic de energie). De asemenea buna absorbărie prezentata în domeniul vizibil recomandă probele pentru dispozitive ce acumulează energia solară (celule solare).

Proba C0 prezinta cea mai puternica absorbanta la ~ 800 nm, si o banda larga de absorbărie între 400-625 nm. Practic doar în intervalul 625-750 nm absorbană este mai scăzută. Un comportament similar se observa in cazul probei M1.

Pentru proba C1 absorbanta cea mai ridicata se observa la 390 nm, celelalte două maxime de absorbărie afiindu-se deplasate la lungimi de unda mai mari, 870 si respectiv 695 nm. Proba C2 prezinta un spectru asemănător, cu o banda larga la 390 nm și cu maxime deplasate batocromic, spre roșu, la +900 nm si 724 nm respectiv. Adițional in aceasta proba apare in plus fata de C1 si maximul de la 590 nm, asemănător cu cel din C0 si M1.

3.4. Măsurători Curent - Voltaj

Măsurătorile de curent-voltaj au fost realizate cu ajutorul unui echipament de simulare a radiației solare de tipul LSH 7320 NewPort și un sistem de caracterizare a semiconducțorilor KEITHLEY-4200-SCS.

Acste analize au fost realizate în vederea testării capacității de generare electrică a celulelor fotovoltaice. Testele au fost realizate atât la întuneric, cât și în prezența luminii. Pentru a determina în mod concluziv capacitatea celulei au fost folosite drept referințe AM (masa aerului) 1.5 G (global) și 1000 W/m^2 .

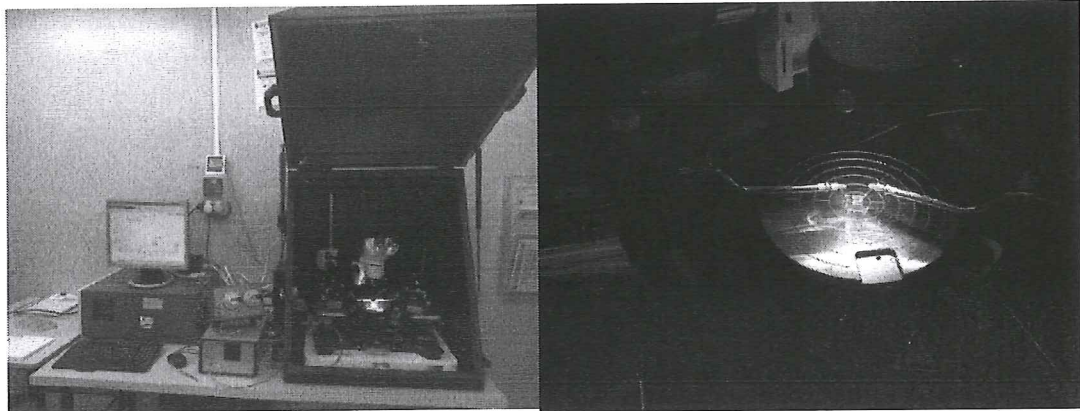


Figura 7 Aparat pentru masuratori de curent-tensiune

În figura 8 este prezentată curba de curent-voltaj pentru celula fotovoltaică.

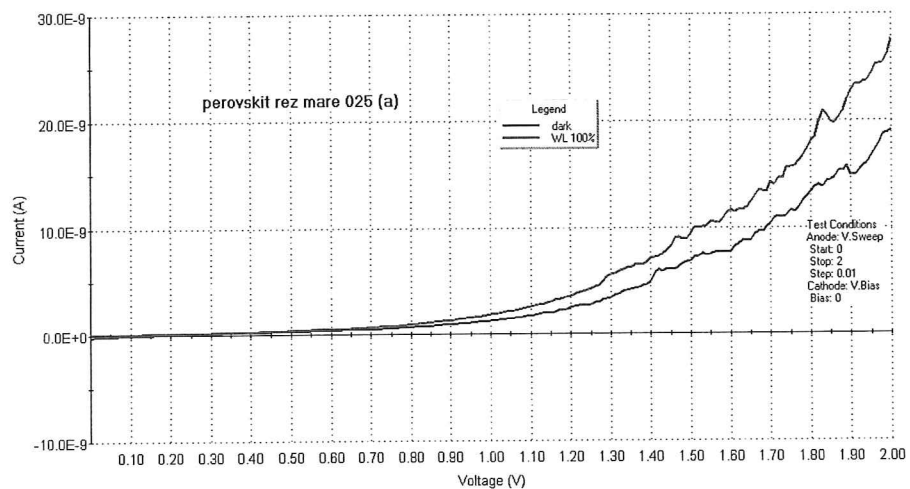


Figura 8 Grafic Curent-Tensiune

Din graficul curent-tensiune se observă o capacitate de conversie mică, acest lucru indică sensibilitatea ridicată.

4. CONCLUZII

In lucrarea de fa^ă s-a realizat o celulă solară de cu 4 tipuri de straturi foto-absorbante de CZTS cu gradient de compozitii de înalta calitate în care, raportul Cu/(Zn+Sn) a fost variat de la stoichiometrie la 0,80 la 0,90, raportul de Zn/Sn variind astfel de la 1,1 la 1,3. Raportul Cu/Sn a rămas fix la 1,6.

În urma depunerilor s-a obținut o singura faza mineralogica aceea a Cu₂SnZnS₄ cu structură cubică pentru toate cele 3 compozitii.

Peste filmele de CZTS a fost depus un strat de ZnO (dopat cu Al) care a avut o grosime variată de la 22 nm pana la aproximativ 12 nm, în funcție de natura compozitiei.

Cristalinitatea ca și dimetrul de cristalit sunt dependente de gradientul de concentrație.

Au fost efectuate măsurători de curent – voltaj, unde s-a demonstrat o capacitate de conversie mică, dar acest fapt este dat, probabil de grosimea stratului pre mic de CZTS. Studiile vor continua in vederea optimizării parametrilor de depunere, a concentrației soluției precuroare și a numărului de straturi depuse, toate acestea au în vedere obținerea unei celule solare care să fie relevantă din punct de vedere electric. De asemenea se va încerca să se depună stratul de AZO prin CVD sau sputtering pentru o mai bună uniformitate a grosimii.

Spectrele probelor indică o puternică absorbantă în domeniul vizibil, cu prezența unei benzi mai puțin intensă la ~260 nm, în domeniul UV. Extinderea spre lungimi de undă mari, +800 nm indică posibilitatea de a absorbi radiua IR (cu aplicabilitate în realizarea de ferestre speciale pentru consum mic de energie). De asemenea bună absorbție prezentată în domeniul vizibil recomandă probele pentru dispozitive ce acumulează energia solară (celule solare).

BIBLIOGRAFIE

- [1] E. Jo, M.G. Gang, H. Shim, M.P. Suryawanshi, U.V. Ghorpade, J.H. Kim, ACS Appl. Mater. Interfaces 11, 23118–23124 (2019);
- [2] Z. Shi, A.H. Jayatissa, Prog. Nat. Sci. 27, 550–555 (2017);
- [3] S. Ahmed, K.B. Reuter, O. Gunawan, L. Guo, L.T. Romankiw, H. Deligianni, Adv. Energy Mater. 2, 253–259 (2012);
- [4] Y.S. Lee, T. Gershon, O. Gunawan, T.K. Todorov, T. Gokmen, Y. Virgus, S. Guha, Adv. Energy Mater. 5, 1401372 (2015);
- [5] G. Grinciene, M. Franckevicius, R. Kondrotas, R. Giraitis, R. Juskenas, G. Niaura, A. Naujokaitis, J. Juodkazyte, L. Tamasauskaitė, V. Pakstas, Semicond. Sci. Technol. 33, 095013 (2018);
- [6] A. Cazzaniga, A. Crovetto, C. Yan, K. Sun, X. Hao, J. Estelrich, S. Canulescu, E. Stamate, N. Pryds, O. Hansen, J. Schou, Sol. Energy Mater. Sol. C 166, 91–99 (2017);
- [7] F.I. Lai, J.F. Yang, Y.L. Wei, S.Y. Kuo, Green Chem. 19, 795 (2017);
- [8] W. Shockley, H.J. Queisser, J. Appl. Phys. 32, 510 (1961);
- [9] P. Jackson, R. Wuerz, D. Hariskos, E. Lotter, W. Witte, M. Powalla, Phys. Status Solidi 10, 583–586 (2016);
- [10] D.A.R. Barkhouse, O. Gunawan, T. Gokmen, T.K. Todorov, D.B. Mitzi, Prog. Photovol. Res. Appl. 20, 6 (2012);
- [11] R.Y., Scragg, J. Ericson, T. Kubart, T. Platzer-Björkman, Thin Solid Films 582, 208–214 (2015a),
- [12] W. Xinkun, L. Wei, C. Shuying, L. Yunfeng, J. Hongjie, J. Semiconductors 33, 022002 (2012);
- [13] K. Timmo, M. Altosaar, J. Raudoja, K. Muska, M. Pilvet, M. Kauk, T. Varema, M. Danilson, O. Volobujeva, E. Mellikov; Solar Energy Mater. Solar Cells 94 1889 (2010);
- [14] S. Delbos; EPJ Photovoltaics 3, 35004 (2012);
- [15] W. Ki, H.W. Hillhouse, Adv. Energy Mater. 1 732 (2011);
- [16] I. Boerasu, L. Pintilie, M. Kosec, Applied Physics Letters 77(14) 2231-2233 (2000);

- [17] L. Pintilie, I. Boerasu, MJM Gomes, Journal of Applied Physics 93(12) 9961-9964 (2003);
- [18] I. Boerasu, L. Pintilie, M. Pereira, MJM Gomes, PM Vilarinho, Journal of Optoelectronics and Advanced Materials 5(3) 769-775 (2003);
- [19] I. Boerasu, et al., Applied Surface Science 208 604-610 (2002);
- [20] Cernea, M.; Trupina, L.; Dragoi, C.; Vasile, B.S.; Trusca, R.; J. Alloys Compd. 2012, 515, 166–170; [21] Vasilescu, C.A.; Crisan, M.; Ianculescu, A.C.; Raileanu, M.; Gartner, M.; Anastasescu, M.; Dragan, N.; Crisan, D.; Gavrila, R.; Trusca, R.; Appl. Surf. Sci. 2013, 265, 510–518.;
- [22] Elisa, M.; Vasiliu, I.C.; Feraru, I.D.; Iordanescu, R.; Rusu, M.I.; Trusca, R.D.; Vasile, E.; Peretz, S.; J. SOL-GEL Sci. Technol. 2015, 73, 660–665;
- [23] Rusu, M.I.; Stefan, C.R.; Elisa, M.; Feraru, I.D.; Vasiliu, I.C.; Bartha, C.; Trusca, R.D.; Vasile, E.; Peretz, S.; J. Non. Cryst. Solids 2018, 481, 435–440;
- [24] Cernea, M.; Vasile, B.S.; Surdu, V.A.; Trusca, R.; Bartha, C.; Craciun, F.; Galassi, C.; Sci. Rep. 2018;
- [25] I. Boerasu, L. Pintilie, M. Pereira, MI Vasilavskiy, MJM Gomes, Journal of Applied Physics 93(12) 4776-4783 (2003);
- [26] L. Pintilie, I. Boerasu, MJM Gomes, T. Zhao, R. Ramesh, M. Alexe, Journal of Applied Physics 98(12) Article Number: 124104 (2005);
- [27] C. A Stanciu, I. Pintilie, A. Surdu, R. Trușcă, B. S. Vasile, M. Eftimie, A. C Ianculescu, Nanomaterials, Volume 9, Issue 12, Pages 1675 (2019);
- [28] M. Cernea, B.S. Vasile, V.A. Surdu, R. Trusca, C. Craciun, C. Galassi, Ceramics International, Volume 44, Issue 9, Pages 10813-10819 (2018);
- [29] G.N. Lupu, B. S. Vasile, M. Cernea, Journal of Applied Physics, Volume 116, Issue 7 (2014);
- [30] M. Cernea, C.E. Secu, B.S. Vasile, M. Secu, Current Applied Physics, Volume 13, Issue 1, Pages 137-141 (2013);
- [31] M. Cernea, B. S. Vasile, P. Ganea, R. Radu, V. Mihalache, A. Husanu, J. Am. Ceram. Soc., Volume 94, Issue 3, Pages 736-741 (2011);
- [32] M. Cernea, G. Poli, G. V. Aldica, C. Berbecaru, B. S. Vasile, C. Galassi, Current Applied Physics, Volume 12, Issue 4, Pages 1100 – 1105 (2012);

[33] R.E. Patru, C.P. Ganea, C.A. Stanciu, V.A. Surdu, R. Trusca, A.C. Ianculescu, I. Pintilie, L. Pintilie, Ceramics International 46 (4), 4180-4190 (2019);

[34] G. Voicu, V.L. Ene, D.F. Sava, V.A. Surdu, C. Busuioc, Journal of Non-Crystalline Solids 449, 75-82 (2016);

[35] Controlling the electronic properties in heterostructures based on ferroelectric perovskites: from theory to applications - PN-III-P4-ID-PCCF-2016-0047 2018-2022;

[36] Size effects, formation mechanisms, and properties in micro- and nanostructured perovskite ferroic systems prepared by alternative methods – PN-II-ID-PCE-2011-3-0668 2011 – 2016;



FUNDAȚIA PENTRU ȘTIINȚA ȘI INGINERIA
MATERIALELOR - "SERBAN SOLACOLU"
Str. Gheorghe Polizu, nr. 1, cod 011061, Sector 1, București,
Tel. 021-402.38.35, CIF 17719729, Nr. Reg. Spec. 9/31.05.2005
e-mail dga10@yahoo.com, Rev.Romana.de.Materiale@gmail.com

SCRISOARE DE PRIMIRE LUCRARE SPRE PUBLICARE

Prin prezenta confirmăm faptul că lucrarea:

Morpho structural evaluation of gradient modified Cu₂SnZnS₄ thin films

Autori:

Bogdan Stefan VASILE^{1,2*}, Iulian BOERASU², Roxana Doina TRUSCA², Ovidiu Cristian OPREA², Adrian Vasile SURDU²

Afilierea:

¹ Academy of Romanian Scientists, Ilfov Str. No. 3, 50044 Bucharest, Romania

² National Research Center for Micro and Nanomaterials, University Politehnica of Bucharest, 060042 Bucharest, Romania

A fost primit la publicare la Revista Română de Materiale (IF=0.563), în prezent este repartizat evaluatorilor și va fi publicat, după evaluare, în nr. 1/2022.